

## **9. SNÍMANIE MECHANICKÝCH VELIČÍN**

- ◆ rýchlosť (priamočiara)
- ◆ otáčky
- ◆ sila
- ◆ moment
- ◆ zrýchlenie

### **9.1. Priamočiara rýchlosť**

- snímanie problematické (pre väčšie rozsahy pohybov):

- ◆ prevod na rotačný pohyb (otáčky)
- ◆ derívacia polohy (ak sa sníma) podľa času  $v = dx/dt$

### **9.2. Snímanie otáčok**

➤ spojité:

- tachodynamo (klasické, unipolárne)
- tachogenerátor (klasický, Feraris)

➤ impulzné:

- magnetické:

- s indukovaným napäťím
- s Hallovou sondou

- optické:

- s reflexnými značkami (vyššie otáčky)
- s optickými mriežkami (nízke otáčky)

#### **9.2.1. Tachodynamo, tachogenerátor**

##### **Tachodynamo**

- má pevný stator, tvorený permanentnými magnetmi a vinutý rotor s komutátorom
- na komutátor dosadajú zberné kontakty
- výstup je jednosmerné napätie:
  - amplitúda lineárne závislá od otáčok
  - polarita závislá od smeru

výhody :

- jednoduché
- citlivé
- lineárne a pomerne presné

nevýhody :

- zvlnenie výst. napäťia, šumy

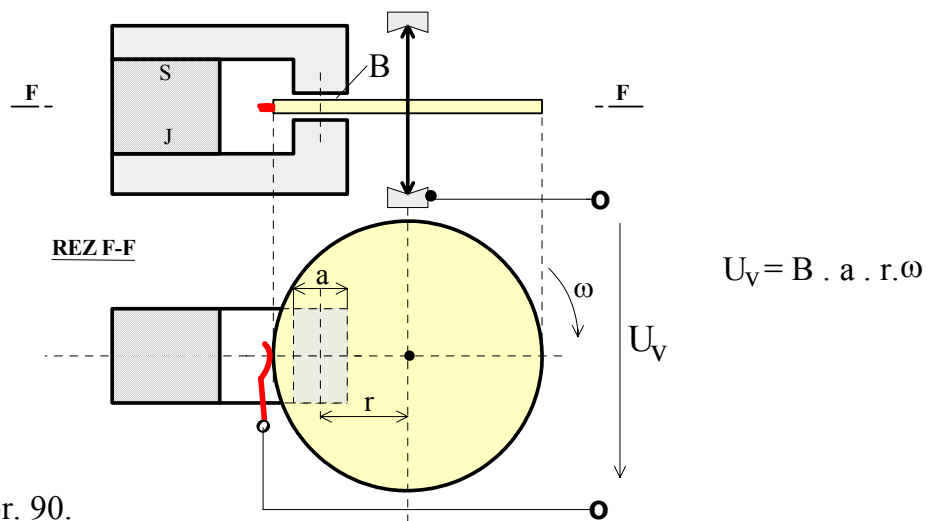
- výstup sa nedá zaťažiť
- nevhodné pre vysoké otáčky (odhadzovanie "kefiek")

Príklad : tachodynamo MEZ typ K5A1

- $n = 0 \div 6000$  ot/min , citl. 20 V na 1000 ot/min
- linearita 1 % , zvlnenie 0,5 %
- mech. príkon 0,33 W na 1000 ot/min
- trecí moment kľudový 200 mNm
- záťažný odpor > 5000  $\Omega$  na volt výst. napäťia

### Unipolárne dynamo

- indukovanie napäťia v otáčajúcom sa el. vodivom kotúči v magnetickom poli
- výst. napätie sa odoberá len jedným klzným kontaktom
- lineárna charakteristika
- menšie komutačné poruchy
- malá zotrvačnosť pohyblivých častí
- malé výstupné napätie



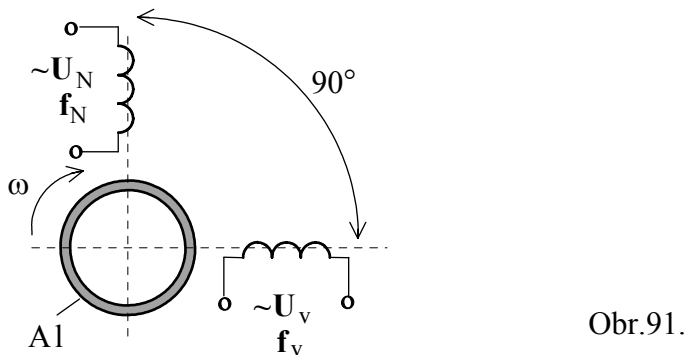
Obr. 90.

### Tachogenerátor

- princíp podobný tachodynamu, výstup je cez nedelené zberné krúžky
- výstupné napätie je striedavé:
  - ako signál môžme využiť jeho amplitúdu
  - alebo frekvenciu.

V reálnych konštrukciách býva stator vinutý, točí sa rotor (magnety), čím odpadnú zberné krúžky. Záťaž výstupu býva  $10^{-3} \div 1 \text{ W}$ .

**Tachogenerátor s budením** (systém Ferraris). Princíp je na obr. 91.



Obr.91.

- dve vinutia, priestorovo posunuté (pre otočný systém o  $90^\circ$ ).
- jedno je napájané  $\sim$  napäťom, z druhého je odoberaný výst. signál.
- vo vzduchovej medzere sa otáča elektr. dobre vodivý bubienok - dutý valec.
- vírivé prúdy natáčajú smer magnetického toku tak, že časť viaže výst. cievka.

Výstup je  $\sim$  napätie s frekvenciou rovnakou ako  $U_N$  a amplitúdou, úmernou otáčkam :

$$U_{\text{výst}} = k U_N n$$

Poznámka: Fáza výstupu sa mení o  $180^\circ$  pri zmene zmyslu  $\omega$ .

### **Snímač uhlového zrýchlenia $\epsilon$**

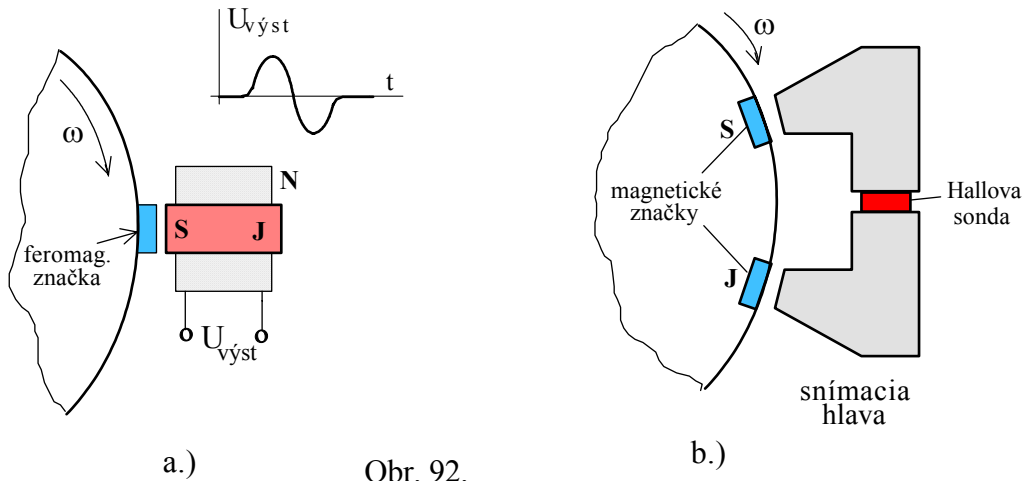
- jedno vinutie napájame jednosmerným napäťom
- signál z druhého vinutia má charakter jednosmerného napäťa
- amplitúda je úmerná veľkosti  $\epsilon$ , polarita zmyslu  $\epsilon$
- pre  $\omega = 0$  a  $\omega = \text{konš.}$  je výst. napätie nulové

Poznámka: Pozor, systém predstavuje tlmiaci člen - brzdu, ktorá môže značne zaťažiť meranú sústavu, najmä pri slabších výkonoch (momentoch).

### **9.2.2. Magnetické impulzné snímanie otáčok**

- indukovanie napäťa od zmeny mag. toku
- Hallov jav

Princíp indukčného systému je na obr.92a.



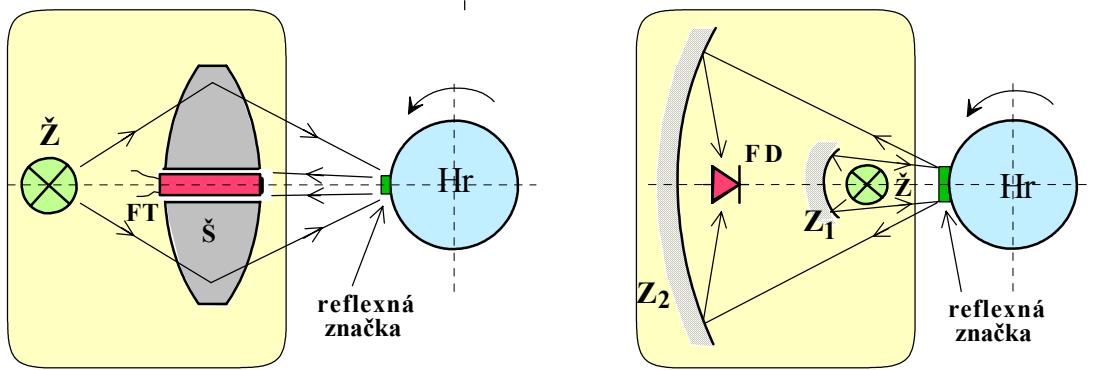
- výstupný signál má dve polarity (približovanie a vzdalovanie sa značky)
- amplitúda závisí od obvodovej rýchlosťi
- značka je z magneticky mäkkého materiálu
- značka môže byť i permanentný magnet, zvyšok je potom z mag. mäkkého materiálu
- systém je vhodný pre vyššie otáčky

Systém s **Hallovým javom** je na obr. 92b.

- značky môžu byť nahrané priamo na hriadeľ
- nahrávacia hlava je podobná snímacej, len s cievkou namiesto Hall. sondy
- systém je vhodný i pre pomalé otáčky

### 9.2.3. Optické impulzné snímanie otáčok

- presnejšie snímanie (nízke otáčky) → opísané optické mriežky
- nižšie nároky, resp. vyššie otáčky → jednoduchšie systémy, obvykle reflexné, obr. 93.

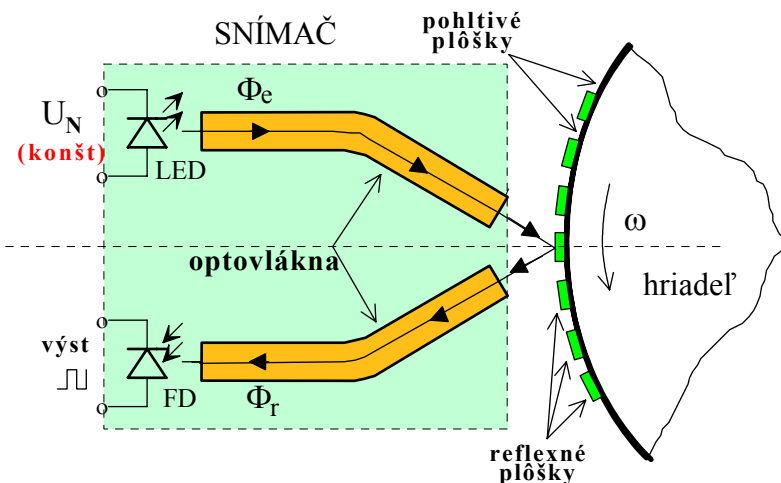


a.)

Obr. 93.

b.)

*Systém s optovláknenami* je naznačený na obr. 94.



Obr. 94.

- zdroj svetla je LED (**konš. budenie - kvôli možnej interferencii**)
- emitovaný tok  $\Phi_e$  je optovláknom vedený k hriadeľu
- na hriadele sa striedajú reflexné a pohltivé plôšky
- na obr. je poloha pri max. odraze svetla
- odrazený tok  $\Phi_r$  je vedený optovláknom k fotodetektoru FD
- výst. signál → približne obdĺžnikový priebeh
- frekvencia je úmerná  $\omega$  a počtu odrazných plôšok na obvode

Výhody:

- systém je vhodný aj pre zle prístupné miesta
- optovlákna môžu byť pomerne dlhé, ohnuté a v tenkom zväzku
- malá vzdialenosť od hriadeľa → malý vplyv svetla z okolia

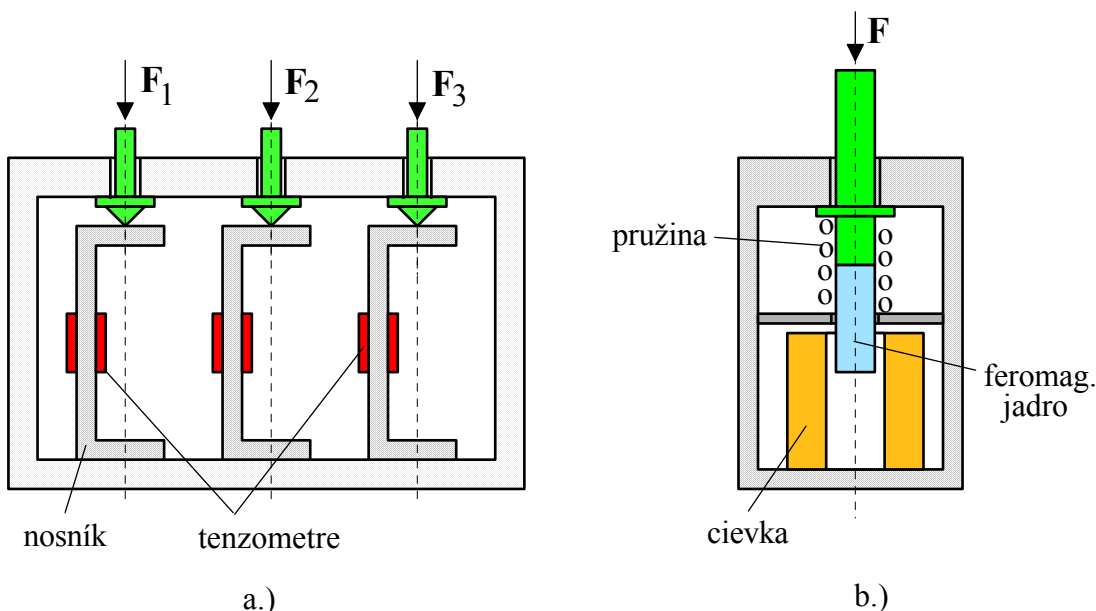
## 9.3. Snímanie sily

- ◆ deformačné členy + snímanie :
  - mech. napäťia - tenzometre
  - zmeny polohy - malé výchyľky [mm]
- ◆ piezoelektrické - nevhodné pre statické merania
- ◆ magnetoanizotropné
- ◆ zmena elektrického odporu

### 9.3.1. Deformačné členy

Menia pôsobiacu silu na inú veličinu

- nosníky → deformácia, tenzometre
- pružiny → zmena polohy , snímač polohy (indukčný, fotoelektrický)
- pružné podložky → zmena polohy



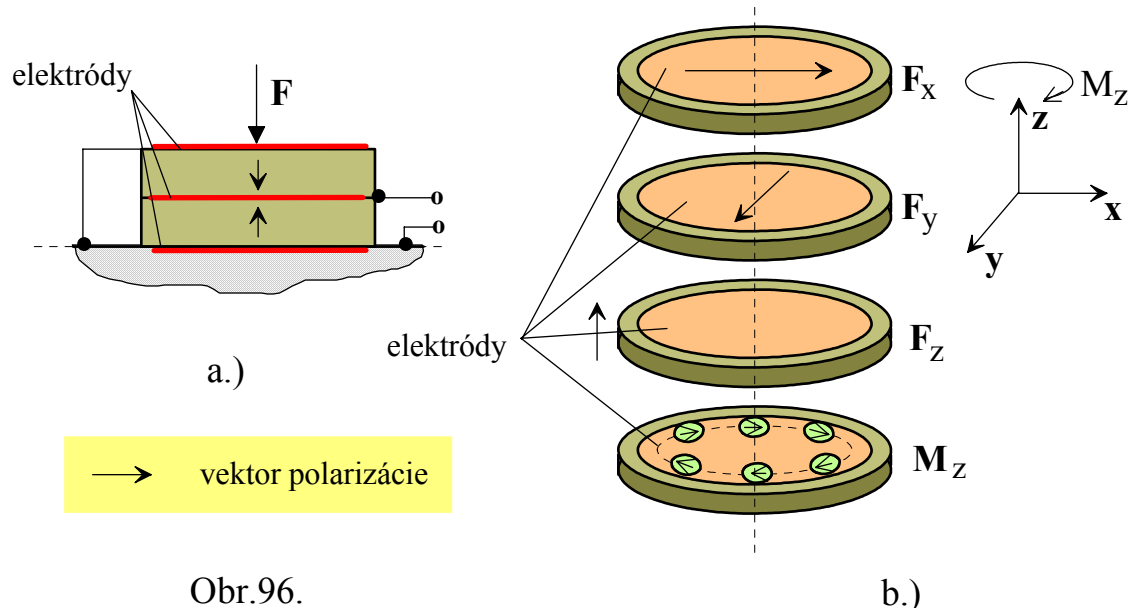
Obr. 95.

Na obr. 95a je časť maticového snímača s def. nosníkmi + tenzometre  
95b je systém s pružinou a indukčným snímačom polohy

### 9.3.2. Piezoelektrické snímače

- ◆ využívajú vznik náboja pri pôsobení sily
- ◆ smer polarizácie - smer citlivosti
- ◆ statické merania - náboj po čase "zmizne"
- ◆ materiál - piezokeramika

Jednoduchý snímač obr.96a, na obr. 96b je viaczložkový snímač (obecná sila a moment k jednej osi)



Obr.96.

b.)

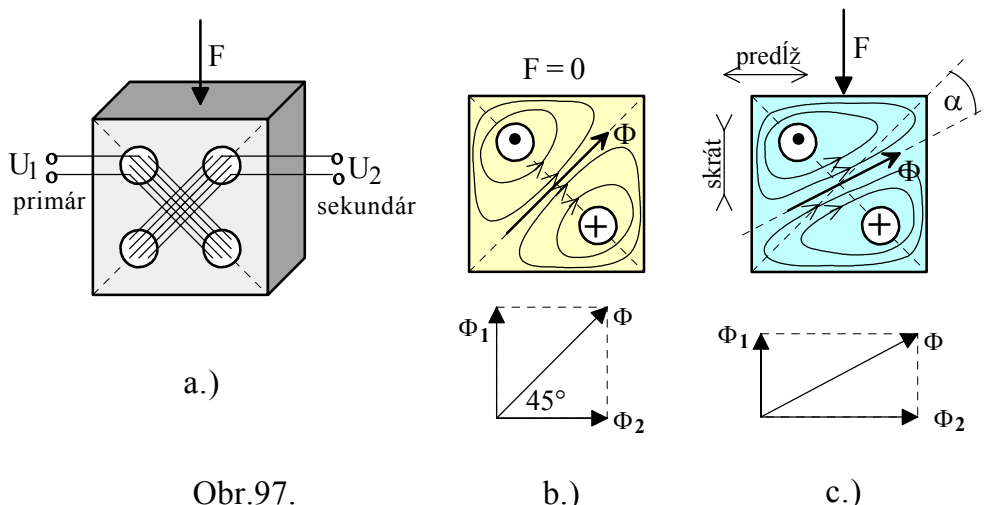
*Poznámka:* Ak upevníme na systém teliesko so znáomou hmotnosťou  $m$  , toto pri pohyboch pôsobi silou  $F = m \cdot a$  , dostávame snímač zrýchlenia

### 9.3.3. Magnetoanizotropné snímače síl

Magnetická anizotropia - v rôznych smeroch rôzne magnetické vlastnosti

Prechodne jav vzniká pri silovom namáhaní (deformácií) niektorých feromagnetík

Princíp konštrukcie a základné stavy na obr. 97.



- hranol z vhodného feromagn. materiálu (permalloy)
- dve vinutia prevlečené cez otvory
- ich osi sú na seba kolmé, tvoria transformátor
- bez pôsobenia sily sekundár neviaže žiadny mag. tok,  $U_2$  je nulové
- pri silovej deformácii nastanú tieto javy (obecne) :
  - taž →  $+σ$  (predĺženie) →  $μ_r$  stúpa → mag tok  $Φ$  stúpa
  - tlak →  $-σ$  (skrátenie) →  $μ_r$  klesá → mag tok  $Φ$  klesá

- v smere pôsobiacej sily je skrátenie, v smere kolmom potom predĺženie
- zložka  $Φ_2$  stúpne, zložka  $Φ_1$  klesne
- výslednica  $Φ$  sa odchýli od  $45^\circ$  a jej časť môže viazať sekundár
- napätie je charakteristické pre transformátorové snímače

Veľká výhoda je značná preťažiteľnosť snímača.

Príklad parametrov: snímač pre  $F = 5000$  kN (firma ASEA Švédsko)

linearita, presnosť	0,5 %
rozsah teplôt	$+20 \div +80$ °C
hysteréza	0,2 %
stlačenie	0,05 mm
napájacia f	50, 60, 400 Hz
preťaženie	200 %

#### 9.3.4. Zmena elektrického odporu

- vodivá guma
- plasticke hmoty (polyuretan)
- Materiály vykazujú zmenu odporu pri stláčaní
- Miera stlačenia úmerná sile (niekedy pomocná pružina)

*Poznámka:* Materiály majú značnú časovú a teplotnú chybu

### 9.4. Meranie momentu (na hriadele)

#### 9.4.1. Meranie deformácie

Meranie je obvykle nepriame, cez deformačný člen - hriadeľ

Vyhodnocuje sa deformácia:

- predĺženie povrchovej priamky ( $\varepsilon$  - pomerné)
- skrut hriadeľa  $\varphi$

- ♦ tenzometrami
- ♦ impulzne
- ♦ magnetoanizotropne
- ♦ inými, upravenými princípmi

Pri meraní uhla skrutu sa vychádza z výrazu:

$$M_k = \frac{G I_p \varphi}{l}$$

$\varphi$  - uhol skrutu (nameraný)

$M_k$  - krútiaci moment

$G$  - modul pružnosti v šmyku

$l$  - dĺžka hriadeľa

$I_p$  - polárny moment zotrvačnosti

Po dosadení za  $I_p$  pre kruh  $\pi D^4/32$  je:

$$M_k = \frac{\pi D^4 G \varphi}{32 l}$$

Pre meranie  $\varepsilon$  sa vychádza z deformácie hriadeľa:

$$M_k = \frac{\pi D^3 \tau_m}{16} \quad \text{kde} \quad \frac{\pi D^3}{16} = W_t = \text{modul prierezu pre kruh}$$

D - priemer hriadeľa

$\tau$  - napätie v šmyku (mechanické), prejaví sa povrchovou deformáciou

Cez transformačné vzťahy "šmyk - tāh" dostaneme:

$$M_k = \frac{\pi D^3 G \varepsilon}{8 \sin 2\alpha} \quad \text{aký uhol } \alpha ? \quad \varepsilon = \frac{M_k 8 \sin 2\alpha}{\pi D^3 G}$$

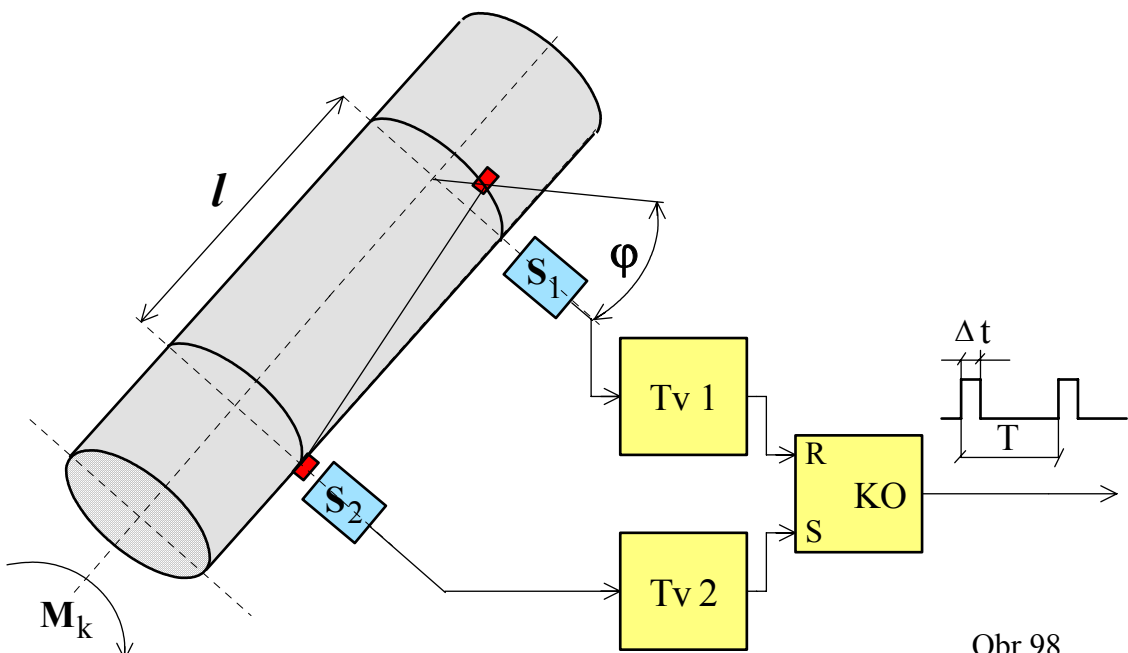
$\varepsilon$  - pomerné predĺženie povrchu pri uhle  $\alpha \rightarrow \max.$  pri  $\alpha = 45^\circ$  ( $\sin = 1$ )  
 $\alpha$  - uhol medzi osou hriadeľa a smerom predĺženia

### Tenzometre

- tenzometre sa lepia šikmo (obvykle  $45^\circ$ ) k pozdĺžnej osi hriadeľa
- meria sa deformácia povrchovej priamky
- problém je s vyvedením 4 uzlov mostíka (bezkontaktný prenos?)
- vysoké otáčky ► problém ► odstredivá sila
- rovnaká teplota → kompenzácia jej vplyvu

### Impulzne

Meria sa uhol skruti, princíp je na obr 98.



Obr.98

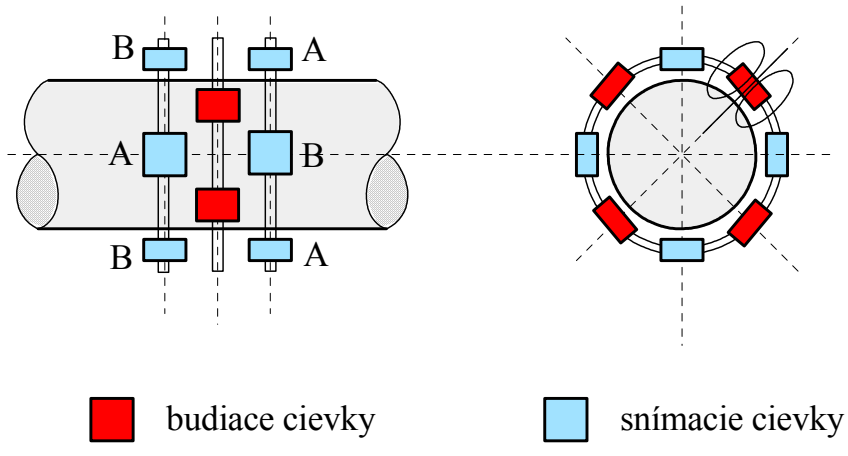
- čas  $\Delta t$  je úmerný uhlu  $\phi$
- $T$  je doba otáčky

$$\frac{\Delta t}{T} = \frac{\varphi}{2\pi} \rightarrow \boxed{\varphi = \frac{\Delta t}{T} 2\pi}$$

#### 9.4.2. Magnetoanizotropný snímač momentov (na hriadele)

Snímač je naznačený na obr. 99.

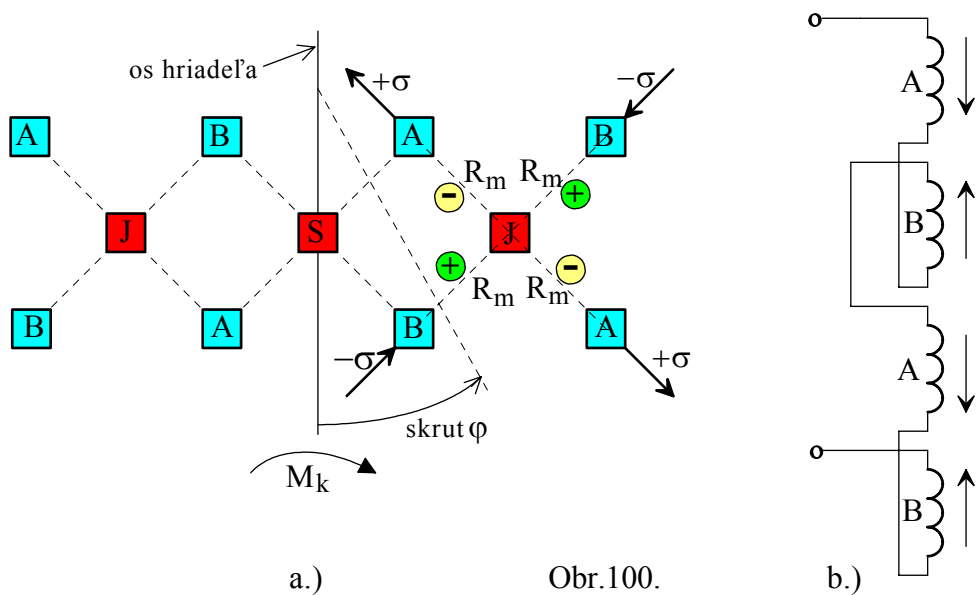
- ◆ hriadeľ musí byť z feromag. materiálu
- ◆ okolo sústavy cievok, ktoré sú pevné
- ◆ medzi cievkami a hriadeľom je malá vzduchová medzera
- ◆ systém je transformátorový princíp
- ◆ základná deformácia je skrut od momentu
- ◆ tento sa prejaví sklonom povrchovej priamky (uhol  $\varphi$ ) a jej predĺžením
- ◆ v smere kolmom nastane stlačenie materiálu



Obr. 99.

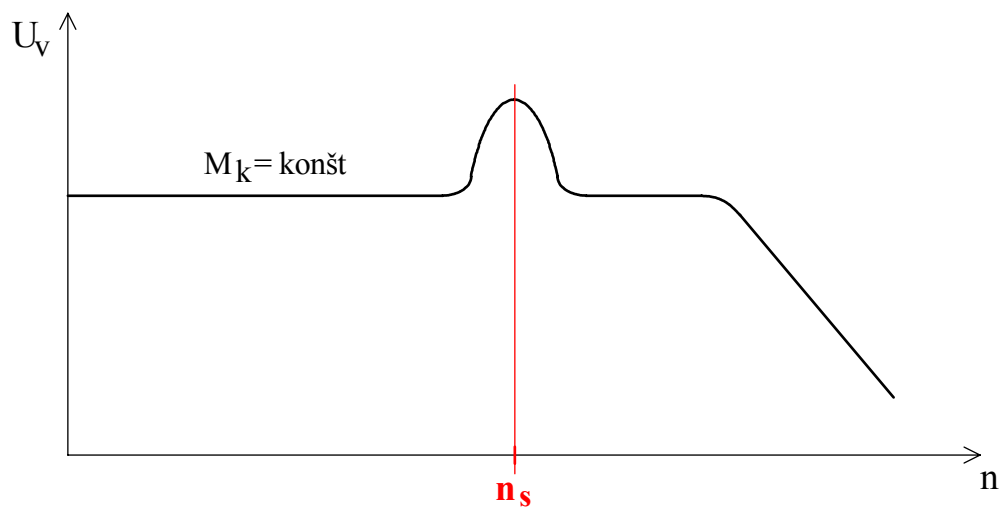
Rozvinutá sústava cievok (po obvode) je na obr.100a.

- primárne cievky vytvárajú striedavé mag. pole, póly sú S a J (pre zvolený čas t)
- $M_k = 0 \rightarrow \Phi_m$  primáru vzhľadom na jednu sekundárnu cievku rušia (rovnaké mag. odpory), výstup každej cievky je nulový
- pri pôsobení  $M_k$  vznikne uhol skrutu  $\varphi$  a opísané deformácie (ťah, tlak)
- zmenia sa  $R_m$  (pre  $+\sigma$  klesá, pre  $-\sigma$  stúpa), zmenia sa  $\Phi_m$  a v sekundárnych cievkach vznikajú napäťia
- amplitúda závisí od  $\varphi$ , fáza (0 alebo  $180^\circ$ ) závisí od prevládajúceho toku (S, alebo J)
- sekundárne cievky v sérii tak, aby sa napäťia sčítavalí. Napäťia v A a B sú v protifáze.



Obr.100.

Na charakteristike (na obr.101)  $U_v = f(n)$  je prevýšenie pri tzv. synchrónnych otáčkach



Obr. 101.

$$n_s = \frac{60f}{p} \quad \text{kde } f \text{ je napájacia frekvencia, } p \text{ je počet pólových párov}$$

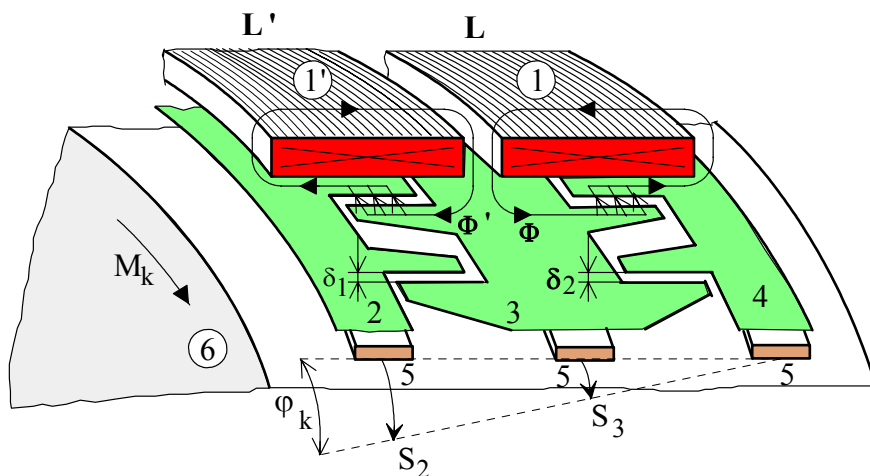
- Pri týchto otáčkach (a v ich okolí) systém nemeria presne
- Zvýšením  $f_{NAP}$  môžme posunúť kritické  $n_s \rightarrow$  systém pracuje i pre vysoké otáčky
- Výhoda → sústava cievok je nepohyblivá → nie sú problémy s prívodmi

Príklad fy ASEA :

<i>rozsah</i>	$50 \div 100 \text{ Nm}$	<i>opakovateľnosť</i>	$0,2 \%$
<i>linearita</i>	$< 1,5 \%$	<i>frekv. rozsah (vibrácie)</i>	$0 \div 250 \text{ Hz}$
<i>max. otáčky</i>	$20\ 000 \text{ ot/min}$	<i>teploty</i>	$0 \div 60 \text{ }^{\circ}\text{C}$
<i>presnosť</i>	$\pm 1 \%$ (v rámci rozsahu 1000 ot/min)		

### 9.4.3. Iné princípy

Príklad je na obr. 102, kde je indukčný snímač momentov na hriadele.



Obr. 102.

- na nemagnetickom hriadele 6 sú nemagnetické pásiky 5
- na nich je upevnený magneticky dobre vodivý obvod, časti 2, 3 a 4
- nad nimi sú pevné - neotáčajúce sa cievky 1 a 1'.
- osi cievok sú rovnobežné s osou hriadeľa
- každá cievka si vytvorí svoj  $\Phi_m$  s naznačenými siločiarami
  - siločiara na vonkajšej strane cievky cez kryt (nie je zakreslený)
  - siločiara na vnútornej strane cievky cez magnetický obvod 3-2, resp. 3-4
- hlavný  $\Phi_m$  ide cez medzery  $\delta_1$  a  $\delta_2$  (cez všetky po obvode súčasne)

### Velkosti medzier $\delta_1$ a $\delta_2$ teda ovplyvňujú indukčnosť L a L'

Zapojenie diferenciálne, cievky sú napr. v mostíku.

- ◆ zaťaženie a skrútenie hriadeľa → prierezy  $S_3$  a  $S_2$  sa pootočia
- ◆ časti 3 a 2 sa posunú voči časti 4
- ◆  $\delta_2$  sa zväčší,  $\delta_1$  sa zmenší
- ◆ zmenia sa indukčnosti L a L', mostík sa rozváži → výstupný signál

Snímač je medzikus - merný hriadeľ, ktorý sa vkladá (mechanickým spojením) do meranej sústavy.

Výhodou je:

- použitie až do 4000 ot/min
- pomerná presnosť a odolnosť
- nepotrebuje vývody z rotujúcich častí

Nevýhodou je:

- zložitá konštrukcia
- magnetického obvodu
- celého snímača (malé δ pri "hádzaní" hriadeľa ?)

## 9.5. Snímače zrýchlenia (obecný smer - priestor)

Obecný princíp - zotrvačná hmota "m" a snímanie sily  $F = m \cdot a$

Meranie sín :

- piezoelektrický princíp
- deformačné členy a :
  - tenzometre
  - fotoelektrický systém
  - kapacitný systém
  - indukčný (transformátorový) systém

Poznámka: Bežné sú systémy s max. citlivosťou v jednej osi, pre obecný smer sa použijú tri v súradných osiach.

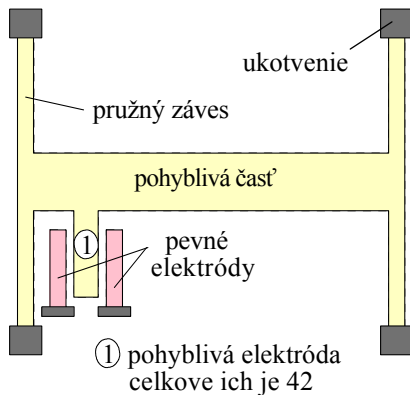
Pri presnom zosnímaní zrýchlenia sa dá určiť rýchlosť i celá pohybová trajektória.  
(integrácia, dvojité integrácie)

### 9.5.1. ADXL 50 (Analog Devices)

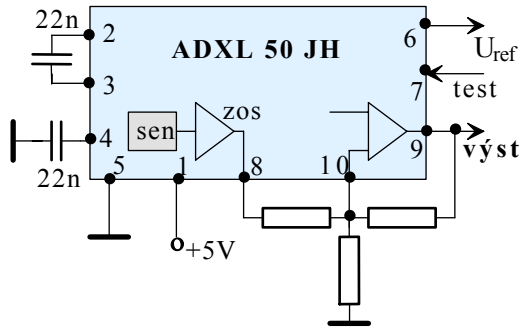
Poznámka: Uvedené ako príklad na komplexné využitie mikroelektroniky v senzoroch

- monolitický čip
- merací rozsah je  $0 \div \pm 50 \text{ g}$  (g zemské gravitačné zrýchlenie)
- $\Delta f$  - od stacionárnych po 1 kHz (vibrácie)
- vlastný senzor - tvar H s rozmermi  $500 \times 625 \mu\text{m}$  ( $0,5 \times 0,6 \text{ mm}$ ) + diferenciálny kondenzátor

Poznámka: Pri týchto malých rozmeroch je Si pružný.



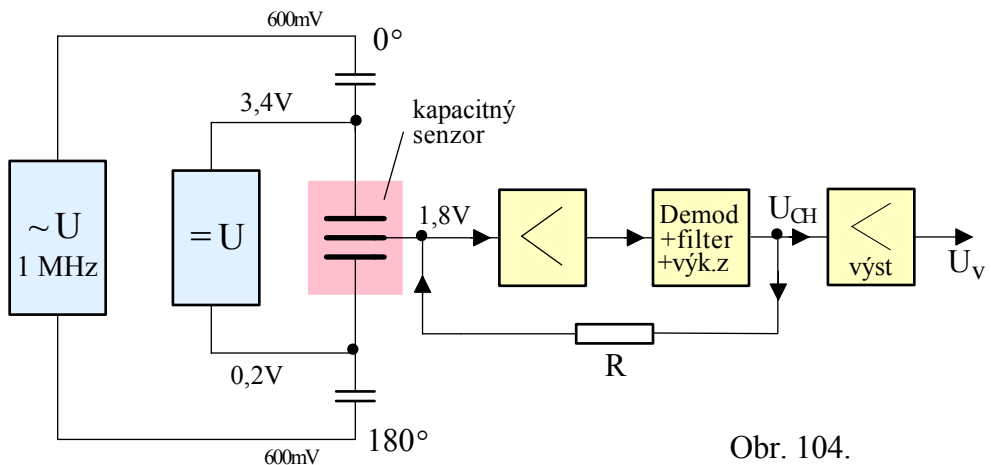
a.)



Obr. 103. b.)

"Drobnosti" :

- tento kapacitný snímač je tiež ako silový element (elektrostatické sily).
- kapacita C medzi pevnými a pohyblivými elektródami je  $0,1 \text{ pF}$
- pružný záves má prierez  $2 \times 2 \mu\text{m}$ , dĺžku  $200 \mu\text{m}$
- hmotnosť pohybl. časti  $m = 0,1 \mu\text{g}$



Obr. 104.

- zdroj  $\sim U$  ( $1 \text{ MHz}$ ) napája kapacitný senzor (pevné elektródy)  $600 \text{ mV}$  voči zemi, fázový posun medzi nimi je  $180^\circ$ .
- zdroj  $= U$  dodáva jednosmerné predpäťia na vytvorenie elektrostatických síl.
- stredná elektróda - napätie z výkon. zosilňovača cez R, v rovnováhe  $1.8\text{V}$ .
- výstup snímača je potom upravené - zosilnené chybové napätie.
- na púzdro je naznačený smer zrýchlenia, ktorý senzor vyhodnocuje ako maximálny.

Poznámka: Pri činnosti sa vyhodnocujú zmeny  $20 \text{ attofaradov}$  ( $20 \cdot 10^{-18} \text{ F}$ ), čo zodpovedá výchylke  $0,2 \text{ } \AA$  (angström =  $0,1 \text{ nm}$ ).

Využitie obvodu je napr. v armáde - meranie explózií, v automobiloch - aktivácia airbagov.

